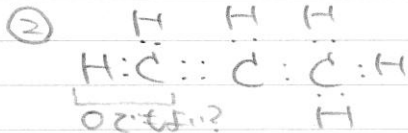
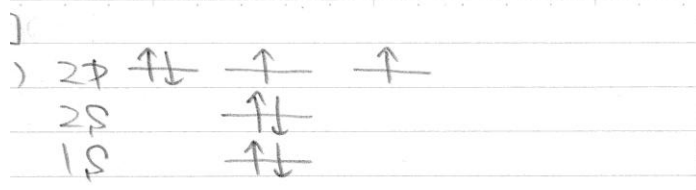
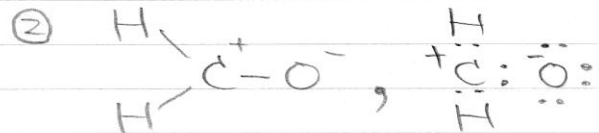


物性化学 H.21

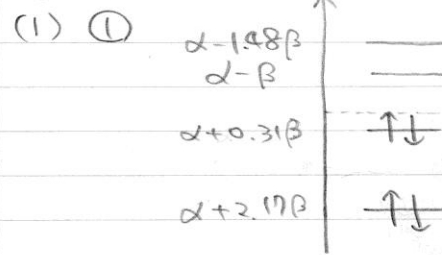


これらの軌道と重なっての結合を形成する。炭素原子と酸素原子が共有する(2p<sub>z</sub>)の電子は、互いに軌道が重なりπ結合を形成する。2p<sub>z</sub>の軌道はsp<sup>2</sup>混成軌道がたつ三方平面構造に垂直な軸を伴っている。



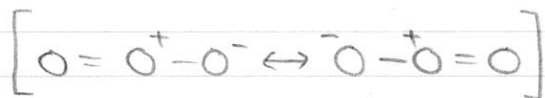
③ 中心の酸素は、二重結合と単結合を1本ずつ、これ非共有電子対を1つ有するから、VSEPRによれば、3個の電子対を有するといことになる。つまり、中心酸素は、非共有電子対も含めて三方平面形をとる。ゆえに、O<sub>3</sub>は屈曲形となる。

②



④ 共鳴とは、ある分子の真の構造と補数の仮想的な構造の重ね合わせつまり、極限構造の分子軌道の線形結合により、表現されるものである。

②  $E_b = 2\{(\alpha + 0.31\beta) + (\alpha + 2.19\beta)\} = 4\alpha + 4.96\beta$   
 $2E_e = 2 \times 2(\alpha + \beta) = 4\alpha + 4\beta$   
 つまり、 $E_b < 2E_e$  差は  $0.96\beta$ 。  
 これは、X<sub>2</sub>とY<sub>2</sub>の軌道の間には、Y<sub>2</sub>の2分子が単結合した分子ではなく、炭素1,4間および炭素2,3間の二重結合が形成されることでπ電子が非局在化し、安定になっているためである。



1) ① 炭素原子の電子配置 [He](2s)<sup>2</sup>(2p)<sup>2</sup>(2p<sub>y</sub>)<sup>1</sup>に対して、昇位による仮想的な電子配置 [He](2s)<sup>1</sup>(2p<sub>x</sub>)<sup>1</sup>(2p<sub>y</sub>)<sup>1</sup>(2p<sub>z</sub>)<sup>1</sup>をつくる。このうち3つの軌道の線形結合をとり、三方平面形を方向性を持つ等価な3つのsp<sup>2</sup>混成軌道を作ることになる。~~炭素原子のsp<sup>2</sup>混成軌道は、2s軌道と2p<sub>x</sub>, 2p<sub>y</sub>軌道の線形結合から成る。炭素原子のsp<sup>2</sup>混成軌道は、2s軌道と2p<sub>x</sub>, 2p<sub>y</sub>軌道の線形結合から成る。炭素原子のsp<sup>2</sup>混成軌道は、2s軌道と2p<sub>x</sub>, 2p<sub>y</sub>軌道の線形結合から成る。~~一方、酸素原子についても(2s)<sup>2</sup>と(2p<sub>y</sub>)<sup>1</sup>の線形結合をとり、直線形の方向性を持つ等価な2つのsp混成軌道を作ることになる。sp混成軌道のうち1つ(もう1つは結合をなさない)は、炭素原子のsp<sup>2</sup>混成軌道

④ H<sup>+</sup>の攻撃により求電子反応が起こる。そのπ軌道はHOMOであるから、BのHOMOの電子密度が最大の炭素原子に対し、H<sup>+</sup>が攻撃する。HOMOの電子密度はHOMOの原子軌道係数の2乗の2倍で与えられることを用い、炭素1~4それぞれの電子密度は順に

(HOMO)  
 0.135, 0.274, 0.274, 1.34 となるから、H<sup>+</sup>はC4に攻撃すると予想される。

$[\text{TiL}]^2$  の炭素-炭素結合の結合次数は1である。これにより、BのC-C結合次数は  
 $2 \times (0.25 \times 0.82 + 0.61 \times 0.28)$   
 $= 0.76$

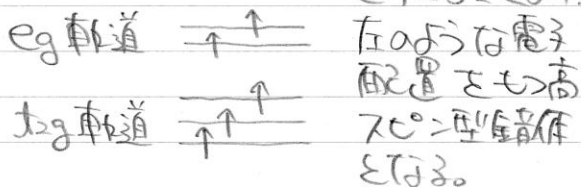
となり、 $[\text{TiL}]^2$  の結合次数が1より小さい。結合次数は結合の強さを指標とすることで、C-C結合より弱く、 $[\text{TiL}]^2$  の炭素-炭素結合より弱いと予想される。

結晶場分裂エネルギー

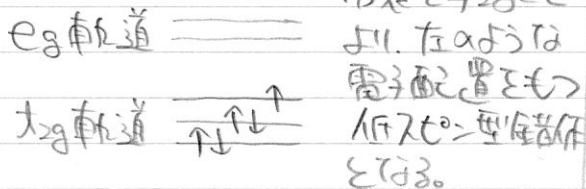
$$\Delta = h\nu = \frac{hc}{\lambda}$$

であるから、 $\lambda$  が小さいほど大きな結晶場分裂と与える配位子がある。ゆえに、 $\Gamma$  のほうが大きな結晶場分裂と与える。

$[\text{MnX}_6]^{4-}$  は、X<sup>-</sup> が弱い結晶場分裂と与えることより、



一方  $[\text{MnY}_6]^{4-}$  は、Y<sup>-</sup> が強い結晶場分裂と与えることより、



両者と比較して、不対電子の数は、 $\alpha$  は  $[\text{MnY}_6]^{4-}$  のほうが1個である。

破線Bで示しているのは斥散力と示される。これは、電子の運動力による電子分布の瞬間的非対称性により、小さな双極子が誘起される(ために生じる)。

② 平衡距離  $r_0$  は Ar のファンデルワール半径の和であるから、

$$r_0 = \frac{3.76}{2} = 1.88 \text{ \AA}$$

(2) ① 水素結合が働かぬ。電気陰性度の高い原子 X, Y があいて  
 $\text{---X---H---}\cdots\cdots\text{---Y---}$

のような構造が作られるとき、点線で示したように、水素結合が生じる。水素結合は静電相互作用(双極子-双極子相互作用)と斥散力と軌道間の相互作用がまじりあったものであり、比較的強く、これにより非対称な構造をつくる特徴をもつ。また、軌道間の相互作用も含まれるゆえに共有結合性も有し、結合は直線構造であることが有利という特徴をもつ。

②  $\sigma$  の性質を構成する  $\alpha$  ヘルクス構造は2番目と3番目の  $\pi$  の  $\sigma$  結合部面が軌道  $\pi$  軌道と  $\pi$  軌道のあいだで水素結合が形成されている。これにより、二次構造である  $\alpha$  ヘルクス構造の最も安定な構造が形成されている。水素結合は、 $\sigma$  の性質の立体構造を決定しているといえる。

(1) ③ Ne のほうが Ar よりも電子の数が少ないため、小さな双極子は Ne のほうが小さく、それゆえに Ne 原子間の誘起双極子-誘起双極子相互作用も Ne のほうが小さい。ゆえに、波線Bがうづらはす上昇する結果、 $r_0$  もとも小さくなる。

この双極子がさらに誘起する Ar に双極子を誘起する